

## تحقیقی

### شناسایی اپی‌توب‌های سلول T مربوط به آنتی‌زن MPB51 مایکروبکتریوم توبرکلوزیس

#### در موش‌های BALB/c

##### چکیده

**زمینه و هدف:** سلول‌های T کمکی نوع یک (*Th1*) و لنفوцит‌های *CD8+* نقش به سزایی در برقراری حفاظت مقابله عفونت با مایکروبکتریوم توبرکلوزیس دارند. *MPB51* یکی از پروتئین‌های ترشحی مایکروبکتریوم می‌باشد که باعث تحریک پاسخ‌های ایمنی هومورال و سلولی در طی عفونت با باسیل‌های سل می‌گردد. هدف از این مطالعه شناسایی اپی‌توب‌های غالب لنفوцит‌های T از مولکول *MPB51* در موش‌های *BALB/c* می‌باشد.

**روش بودی:** ای ن مطالعه تجربی از تیرماه ۱۳۸۱ لغایت اسفند ماه ۱۳۸۱ انجام گردید. *MPB51* کد کننده مولکول *pCI* در پلاسمیدهای *pCI* مولکولون گردید. پس از ایجاد گلوله‌های ژنی حاوی ذرات طلای پوشیده شده از *MPB51*، با استفاده از تفتگ ژنی (*Gene gun*) موش‌های سفید نژاد *BALB/c* مورد واکسیناسیون قرار گرفتند. دو هفته بعد از آخرین اینمانی سازی سلول‌های طحالی استخراج شد و در حضور یا عدم حضور مجموعه‌ای از پیتیدهای هم پوشان سنتیک توالی کامل مولکول *MPB51* در محیط کشت *RPMI1640* حاوی ادرصد *FCS* کشت داده شد. تولید  $\gamma$ -*IFN*- $\gamma$  داخل سلول و سوب کشت سلولی به ترتیب با روش فلاؤستیوتوری و *ELISA* بررسی گردید.

**یافته‌ها:** نتایج نشان داد که واکسیناسیون *DNA* باعث ایجاد پاسخ ایمنی قوی تنها در برابر پیتید حاوی اسید آمینه  $21-40$  می‌شود. آنالیزهای بیشتر با استفاده از الگوریتم‌های کامپیوترا امکان شناسایی اپی‌توب نه اسید آمینه‌ای  $24-32$  P را به عنوان اپی‌توب غالب سلول *T CD8+* فراهم نمود.

**نتیجه گیری:** این تحقیق مشخص ساخت کمپاکس *MHC* کلاس یک -پیتید (*P24-32/H2-Dd*) توسط سلول‌های *T* سیتوتوکسیک (CTL) تولید کننده  $\gamma$ -*IFN* شناسایی می‌گردد. با استفاده از روش حذف دستگاه لنفوцит‌های *T* مشاهده شد لنفوцит‌های *CD8+* تنها سلول‌های پاسخگو در برابر پیتید ایمونوژن  $24-32$  P در موش‌های *BALB/c* می‌باشند. نتایج به دست آمده از این تحقیق علاوه بر آنکه به شناخت مکانیسم‌های پاسخ‌های ایمنی سلولی در برابر توبرکلوزیس کمک می‌نماید، در طراحی واکسن موتوری در مقابل عفونت *M.tuberculosis* نیز مفید خواهد بود.

**کلید واژه‌ها:** اپی‌توب سلول T - توبرکلوزیس - *MPB51* - واکسن ژنتیکی

دکتر علیرضا رفیعی

استادیار ایمونولوژی دانشگاه علوم پزشکی مازندران

دکتر یوکیدو کویاد

استاد ایمونولوژی و بیولوژی سلولی

دانشکده پزشکی دانشگاه هماماتسو، ژاپن

نویسنده مسؤول: دکتر علیرضا رفیعی

پست الکترونیکی: rafie1710@gmail.com

نشانی ساری، بلوار خزر، میدان خزر، دانشکده پزشکی

ساری، گروه ایمونولوژی و میکروب‌شناسی

تلفن: ۰۳۲۴۹۰۴۳ و نمایر: ۰۱۵۱-۳۲۴۷۱۰۶

وصول مقاله: ۸۴/۲/۲۴

اصلاح نهایی: ۸۴/۴/۱۵

پذیرش مقاله: ۸۴/۴/۲۵

##### مقدمه

سل یک بیماری بازپدید می‌باشد که یکی از مشکلات اصلی بهداشت عمومی در تمامی کشورها به ویژه کشورهای در حال توسعه محسوب می‌شود. مایکروبکتریوم توبرکلوزیس عمده‌ای از طریق تنفسی انتقال می‌یابد و باعث بروز بیماری در ۱۰-۱۵ درصد افراد آنلوه می‌گردد، به طوری که سالیانه ۳ میلیون نفر در اثر ابتلا به این بیماری جان می‌سپارند. ایزارهای موجود برای کنترل بیماری ناکافی بوده، به طوری که میزان حفاظت ناشی از تنها واکسن موجود، واکسن BCG، بین ۰-۸۵ درصد در مطالعات مختلف گزارش شده است (۱). این امر همراه با بروز پاندمی HIV و افزایش مقاومت چند دارویی در سویه‌های مایکروبکتریوم توبرکلوزیس نیاز به واکسن‌های موثرتر را بیشتر می‌نماید (۲). گرچه مکانیسم‌های حفاظتی در مقابل سل هنوز به خوبی شناخته نشده‌اند، ولی پاسخ‌های

ایمنی سلولی نقش موثری برای کنترل عفونت دارند. شواهد متقنی وجود دارد که سلول‌های *CD4+* کمکی نوع یک (*Th1*) عمده‌ای از طریق تولید سیتوکاین‌های فعال کننده ماکروفازها نظیر انترفرون گاما، در پیدایش مقاومت در برابر *CD8+* بیماری موثرند. علاوه بر آن لنفوцит‌های *T* سیتوتوکسیک (CTL) نیز در پیدایش مقاومت در برابر بیماری سهیمند (۳). موش‌های فاقد سلول‌های *CD8+* *Th1* حساسیت بیشتری نسبت به مایکروبکتریوم توبرکلوزیس دارند (۴). سلول‌های CTL *CD8+* انسانی آنتی ژن‌های لیپیدی و گلیکولیپیدی دیواره سلولی مایکروبکتریوم را در داخل مولکول‌های *CD1a, b, c* عرضه شده بر روی سلول‌های دندربیتیک شناسایی می‌نمایند (۵).

طراحی نسل جدید واکسن‌های TB نیازمند دانستن نحوه

پرایمر جلو:

5'- CCTCTAGAACATGGCCATACGAGAACCTGA-3'

پرایمر عقب:

5'- CAGGCTCTAGACATCGGCACCTGGCTAGC-3'

فرآورده PCR با استفاده از آنزیم محدود کننده XbaI برش داده شد و در جایگاه XbaI واقع در پایین دست ناحیه پیش برنده/ تشدید کننده ویروس سایتومنگال موجود در پلاسمید pCI کلون گردید. صحت توالی نوکلئوتیدها با استفاده از دستگاه تعیین توالی DNA (DNA sequencing) DNA (ABI PRISM 310) تعیین شد.

**پیتیدها:** پیتیدها در برگیرنده تمام توالی ۲۶۶ اسید آمینه مولکول MPB51 باکتری مایکوباکتریوم به صورت توالی های ۲۰ اسید آمینه ای دارای ۱۰ ریشه هم پوشان به جز برای انتهای کربوکسیل مولکول ساخته شد. انتهای کربوکسیل مولکول به صورت پیتید ۱۲ اسید آمینه ای (۲۵۵ تا ۲۶۶) تهیه گردید. برای شناسایی قابلیت عرضه اپی توپ های سلول های CD8+T موجود در کتابخانه پیتیدهای ۲۰ اسید آمینه ای مولکول MPB51 توسط مولکول های MHC کلاس یک، از نرم افزارهای پیش بینی کننده اپی توپ نظری SYFPEITHI و بخش آنالیز مولکولی و بیوانفورماتیک (BIMAS) وب سایت پیش گویی کننده میزان اتصال پیتید به HLA استفاده گردید.

[http://biamas.dert.nih.gov/cgi-bin/mobio/ken\\_parker\\_conboform](http://biamas.dert.nih.gov/cgi-bin/mobio/ken_parker_conboform)  
پیتیدهای لیوفلیز در غلظت یک میلی مولار در محلول ۵درصد دی متیل سولفو کساید (DMSO) در محیط کشت حل شده و در دمای منهای ۸۰ درجه سانتی گراد نگهداری شد.

**ایمن سازی موش ها:** موش ها با استفاده از دستگاه تفنگ MPB51 رنی با واکسن DNA پلاسمیدی کد کننده مولکول ایمن شدن. برای واکسیناسیون ژنتیکی با دستگاه تفنگ ژنی گاز هلیوم (آزمایشگاه های Bio-Red هر کولز، کالیفرنیا) گلوله های حاوی ذرات طلای پوشیده شده با DNA پلاسمیدی براساس دستورالعمل های شرکت تولید کننده تهیه شد. بدین منظور یک میکرو گرم DNA پلاسمیدی روی ۰/۵ میلی گرم ذرات طلا چسبانیده شد. موش ها هر بار تحت دو شلیک قرار می گرفتند که در هر شلیک ۰/۵ میلی گرم ذرات طلا انتقال می یافت. برای ایمن سازی موش ها، ابتدا موهای پوست ناحیه شکم تراشیده شد و سپس ناحیه مربرطه با اتانول ۷درصد ضد عفونی گردید. سپس لوله تفنگ ژنی را مستقیماً

آرایش آنتی ژنی مایکوباکتریوم توبرکلوزیس می باشد. پروتئین های ترشحی و سطحی نقش به سزایی در برانگیختن ایمنی سلولی موثر در مقابل TB دارند (۶). مطالعات انجام شده در مدل موشی عفونت TB نشان می دهد ، سلول های خاطره ای موش های ایمن شده مقادیر قابل توجهی از γ IFN در پاسخ به دو جزء پروتئین a ۱۰-۶ و کمپلکس آنتی ژن ۸۵ حاصل از فیلتراسیون کشت مایکوباکتریوم تولید می کنند (۷). کمپلکس آنتی ژن ۸۵ (شامل Ag85 A (Ag85C A) و Ag85 B از پروتئین های ترشحی مایکوباکتریوم می باشد که فعالیت مایکولیل ترانسفرازی در ساخت دیواره باکتری و در بیوسنتر فاکتور طنابی شدن دارد (۸). کمپلکس Ag85 B موجب برانگیختن سلول های Th1 و CTL در افراد سالم مبتلا BCG به مایکوباکتریوم توبرکلوزیس و موش های آلوده به می شوند (۱۰-۱۳). MPB51 یکی از پروتئین های اصلی ترشحی می باشد که با سه جزء کمپلکس Ag85 و اکنش متقاطع داشته (۱۴) و از نظر ساختمانی نیز ۴۳ درصد با آنها تشابه دارد (۱۵). نقش فیزیولوژی پروتئین MPB51 هنوز به خوبی مشخص نشده است. نتایج مطالعات انجام شده با واکسن MPB51 کد کننده DNA نشان می دهد که این پروتئین قابلیت ایجاد پاسخ های سلولی و ایمنی حفاظت کننده را در موش های مواجه شده با مایکوباکتریوم توبرکلوزیس دارد (۱۶). مطالعه حاضر به منظور شناسایی اپی توپ های غالب سلول T در موش های BALB/c با استفاده از روش واکسیناسیون ژنتیکی انجام گردید.

### روش بررسی

این مطالعه تجربی از تیرماه ۱۳۸۱ لغایت اسفند ماه ۱۳۸۱ انجام گردید.

**حیوان آزمایشگاهی:** موش های BALB/c ماده ۶-۸ هفت های در شرایط عادی از پاتوژن در انستیتو حیوانات آزمایشگاهی دانشکده پزشکی دانشگاه هامامتسو نگهداری شدند و در تمام مدت مطالعه آب و غذای اتو کلاو شده به میزان کافی دریافت می نمودند.

ساخت واکسن DNA پلاسمیدی حاوی ژن MPB51: DNA کد کننده مولکول کامل pMB49 از پلاسمید با استفاده از جفت پرایمرهای زیر توسط روش واکنش زنجیره پلیمرازی (PCR) تکثیر یافت.

سلول‌های T CD4+ یا CD8+ با استفاده از آنتی‌بادی منوکلونال ضد CD4 موشی (G1K1.5) یا منوکلونال آنتی‌بادی ضد CD8α موشی (MAb<sup>۳۵-۱۸-۲</sup>) از جمعیت سلول‌های T طحالی موش‌های این منظور حذف شدند. بدین منظور تعداد  $1 \times 10^7$  سلول طحالی موش‌های این منظور از انتقال در بافر سیتوکسیک (محیط کشت RPMI1640 همراه با بافر ۲۵mM HEPES) و  $\frac{1}{3}$  درصد آلبومین سرم گاوی) حاوی آنتی‌بادی ضد CD4 یا ضد CD8 به مدت یک ساعت در دمای ۴ درجه سانتی‌گراد انکوبه گردید. سپس کمپلمان خرگوش (سیدرلان، هورنبی، کانادا) به سوسپانسیون سلولی افزوده شد و به مدت یک ساعت در دمای ۳۷ درجه سانتی‌گراد انکوبه شد. در نهایت بعد از شستشو، سلول‌ها در محیط کشت RPMI حاوی ۱۰ درصد FCS سوسپانسیون شده و در حضور مجموعه‌ای از پیتیدهای مولکول MPB51 به طور جداگانه کشت داده شدند.

**اندازه‌گیری IFN-γ در داخل سلول : برای شناسایی دسته سلول‌های T اختصاصی آنتیژن، نوع و فنوتیپ سلول‌های T و میزان بیان داخل سلولی IFN-γ با استفاده از فلوسیتمتری مورد بررسی قرار گرفت. بدین منظور برای حذف گلبوهای قرمز ابتدا سلول‌های طحالی استحصال شده از موش‌های این منظور با بافر لیزکننده ACK به مدت ۵ دقیقه در حرارت اتاق انکوبه شدند و سپس بعد از دو بار شستشو، به تعداد  $1 \times 10^7$  سلول در میلی‌لیتر محیط RPMI1640 حاوی ۱۰ درصد FCS تنظیم گردید. سلول‌ها به مدت ۵ ساعت در دمای ۳۷ درجه سانتی‌گراد در حضور یا عدم حضور پیتیدهای سنتیک با محلول حاوی بrifeldin A (Brefeldin A) کشت داده شدند. آنگاه سلول‌ها را دو بار با بافر FACS (محلول PBS حاوی ۱ درصد FCS و  $1/10$  درصد آزیدسیدیم) شستشو داده و در حضور آنتی‌بادی ضد CD8 کونژوگه با FITC و آنتی‌بادی ضد CD4 کونژوگه با Cy-chrome به مدت ۳۰ دقیقه روی یخ انکوبه گردید. بعد از دو بار شستشو، سلول‌ها با محلول پارافرمالدئید ۱ درصد فیکس شدند. بعد از دوبار شستشو با محلول شستشو، با افزودن محلول نفوذپذیر کننده حاوی ساپونین جدار سلول‌ها نفوذپذیر گردید. آنگاه با افزودن آنتی‌بادی ضد IFN-γ موشی کونژوگه با فیکواریترین و ۲۰ دقیقه انکوباسیون در تاریکی در دمای ۴ درجه سانتی‌گراد، سیتوکاین داخل سلولی رنگ آمیزی شد. سرانجام پس از شستشو، سلول‌ها در  $500 \mu\text{L}$  از بافر FACS سوسپانسیون**

با پوسرت حیوان تماس داده و آنگاه دستگاه تحت فشار ۴۰۰ Ib/In2 گاز هلیوم شلیک می‌گشت. موش‌ها چهار بار به فاصله یک هفته در میان با ۲ میکروگرم DNA پلاسمیدی تلقیح شدند.

**کشت سلول‌های طحالی : دو هفته بعد از آخرین اینمن‌سازی، با روش قطع نخاع موش‌ها کشته شدند و طحال آنها تحت شرایط استریل جدا گردید. سپس در محیط کشت (Mesh) RPMI1680 سلول‌های طحالی با استفاده از مش (Mesh) به میزان  $1 \times 10^9$  سلول در هر چاهک پلیت‌های ۱۰ درصد FCS به حضور  $5 \mu\text{g}/\text{ml}$  چاهگی در حضور CO2 ۹۶ چاهگی در درجه سانتی‌گراد کشت داده شد. ۲۴ ساعت بعد از کشت، مایع روی کشت سلولی جمع آوری و تا زمان آزمایش در دمای منهای ۲۰ درجه سانتی‌گراد نگهداری شد. غلظت  $\gamma$ -IFN با استفاده از روش الیزای ساندویچی (ELISA) اندازه‌گیری شد.**

**اندازه‌گیری IFN-γ در مایع کشت سلولی : برای اندازه‌گیری IFN-γ پلیت‌های ۹۶ چاهگی الیزا با  $2 \mu\text{g}/\text{ml}$  آنتی‌بادی تسخیر کننده (آنتی‌بادی منوکلونال ضد  $\gamma$ -IFN موشی) در مدت یک شب در دمای ۴ درجه سانتی‌گراد پوشانده شدند. بعد از شستشو پلیت با PBS حاوی  $10/5$  درصد تووین، ۲۰ چاهک‌ها با محلول بلوك کننده ACe به مدت ۲ ساعت در دمای ۳۷ درجه سانتی‌گراد مسدود گردیدند. بعد از شستشو، نمونه‌های کشت سلولی و غلظت‌های استاندارد  $\gamma$ -IFN به چاهک‌ها افزوده شد و به مدت یک شب در دمای ۴ درجه سانتی‌گراد انکوبه گردید. بعد از شستشو،  $50 \mu\text{g}/\text{ml}$  از آنتی‌بادی منوکلونال ضد  $\gamma$ -IFN موشی کونژوگه با بیونین به پلیت اضافه گردید و در شرایط آزمایشگاه به مدت یک ساعت انکوبه شد. بعد از شستشو،  $1 \mu\text{g}/\text{ml}$  استرپتاویدین کونژوگه با پروکسیداز به پلیت‌ها اضافه گردید و به مدت ۳۰ دقیقه در دمای آزمایشگاه قرار داده شد. بعد از شستشو، استرپتاویدین کونژوگه با پروکسیداز باشد شده با استفاده از TMB شناسایی گردید و مقدار جذب محلول در طول موج  $405\text{nm}$  با دستگاه میکروپلیت ریدر EZS-ABC تعیین گردید.**

**حذف دستجات سلول‌های CD8T یا CD8 :** به منظور شناسایی نوع سلول‌های T پاسخ دهنده به پیتید، دستجات

آزمون Kruskal-Wallis و آزمون Mann-Whitney استفاده شد.

اختلافات بیشتر از ۹۵ درصد دامنه اطمینان در تمام آزمایشات با مقدار  $P < 0.05$  از نظر آماری معنی دار بود. برای آنالیز داده‌ها از نسخه دهم نرم افزار SPSS استفاده شد.

#### یافته‌ها

**تولید IFN-γ در پاسخ به پپتیدهای همپوشان ساختگی**

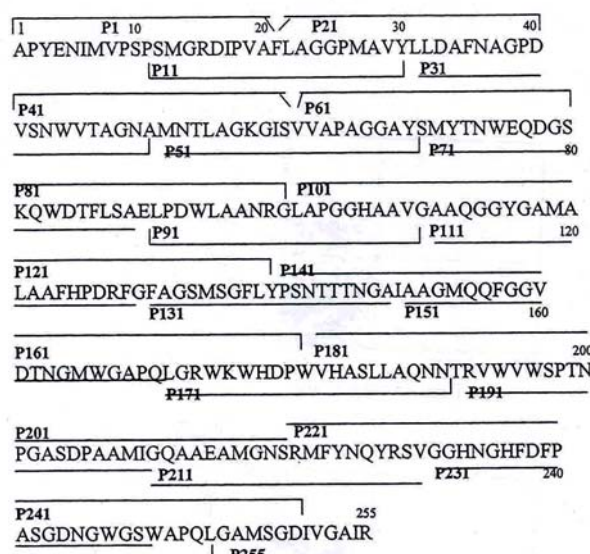
#### MPB51 مولکول

سلول‌های طحالی موش‌های BALB/c ایمن شده با واکسن DNA کد کننده مولکول MPB51، با پپتیدهای ۲۰ اسید آمینه‌ای دارای ۱۰ اسید آمینه همپوشان (شکل یک) تحریک شدند و غلظت γ-IFN در سوب کشت سلولی به وسیله روش ELISA تعیین گردید. همان‌طور که در شکل ۲ نشان داده شده است، مقادیر قابل توجهی γ-IFN بعد از تحریک با پپتید P21 (اسید آمینه ۴۰ تا ۲۱ در موش‌های BALB/c) تولید گردید. همان‌طور که انتظار می‌رفت، سلول‌های T طحالی موش‌های بکر (ایمن نشده) در پاسخ به هیچ یک از پپتیدهای کتابخانه پپتیدی مولکول MPB51 مقادیر قابل توجهی γ-IFN تولید نکردند.

**شناسایی اپی‌توب ۹ اسید آمینه سلول‌های CD8+T در پپتید**

#### MPB51 مولکول P21

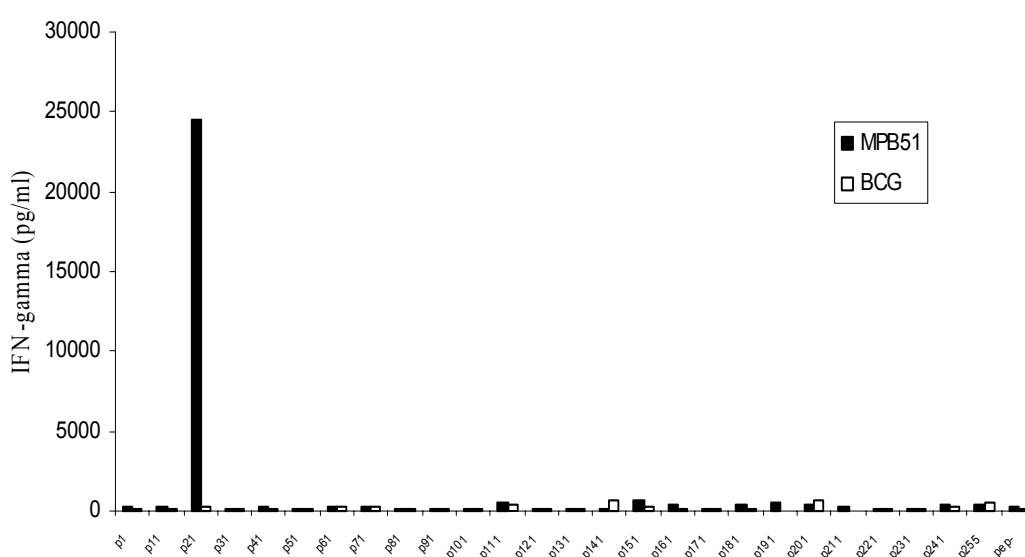
بررسی نوع لغنوسیت‌های T تولید کننده γ-IFN با استفاده از فلوسیتو مترا می‌باشد. برای مقایسه بین گروه‌ها از آزمون یک‌طرفه



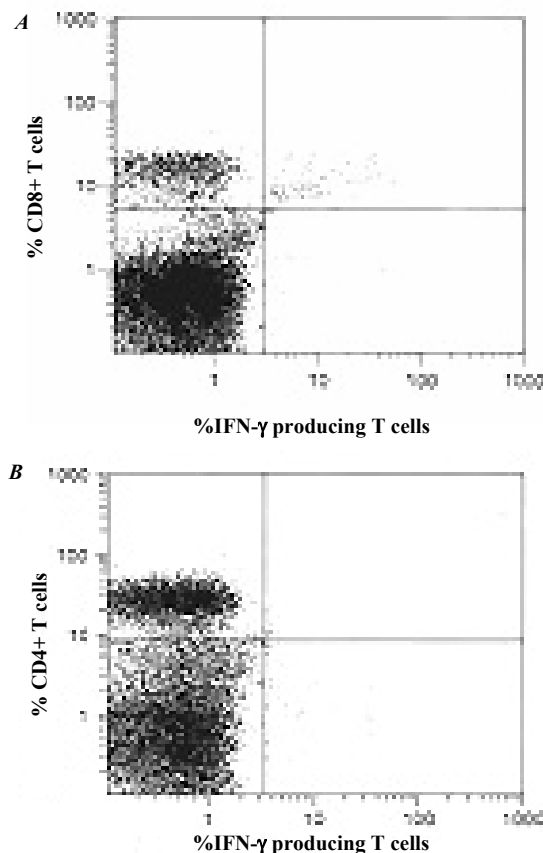
شکل ۱: نمایش شماتیک ۲۶ پپتید ساختگی دارای همپوشانی از مولکول MPB51 با کتری مایکروبیکتریوم تویر کلموزیس. تمام پپتیدها به صورت مولکول‌های ۲۰ اسید آمینه‌ای دارای ۱۰ اسید آمینه همپوشانی ساخته شده‌اند. تنها انتها کربوکسیل مولکول به صورت پپتید ۱۲ اسید آمینه‌ای ساخته شد.

گردیده و با دستگاه فلوسیتو مترا دیجیتال EPICS (بکتون- دیکنیسون، سانخوزه، کالیفرنیا) مورد تجزیه و تحلیل قرار گرفت.

**آنالیز آماری:** داده‌ها حاصل سه بار آزمایش در شرایط یکسان می‌باشد. برای مقایسه بین گروه‌ها از آزمون یک‌طرفه

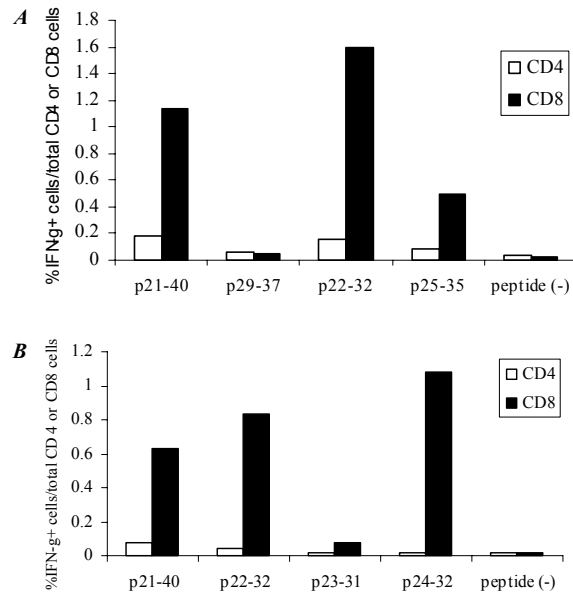


شکل ۲: تولید γ-IFN توسط سلول‌های طحالی موش‌های BALB/c ایمن شده با DNA کد کننده MPB51 (ستون‌های تیره) یا واکسن BCG (ستون‌های سفید) در پاسخ ۵ μM از پپتیدهای ۲۰ اسید آمینه‌ای کل مولکول MPB51 یا محیط کشت تنها (-pep)، نتایج نشانگر تکرار سه آزمایش مستقل می‌باشد.



شکل ۴: نمودار فلوسیتومتری سلول های  $CD8+$  T تولید کننده  $IFN-\gamma$  در پاسخ به پیتید P<sub>224-32</sub> در بین سلول های طحالی موش های ایمن شده با واکسن DNA. همان طور که مشاهده می شود پس از تحریک لنفوسیت های طحالی با پیتید P<sub>224-32</sub>, فقط در سلول های  $CD8+$  T تولید داخل سلولی  $IFN-\gamma$  افزایش یافته است (نمودار A). در حالی که در سلول های  $CD4+$  T پس از تحریک با پیتید P<sub>224-32</sub> هیچ گونه  $IFN-\gamma$  تولید نشده است (نمودار B).

پیتید P<sub>225-35</sub> توانایی اند کی در تحریک سلول های ایمنی طحال نشان داد که ممکن است ناشی از اشتراک ۸ اسید آمینه با پیتید های ۱۱ اسید آمینه ای P<sub>222-32</sub> و P<sub>225-35</sub> باشد. به همین منظور در مرحله بعد دو پیتید ۹ اسید آمینه ای P<sub>223-31</sub> و P<sub>224-32</sub> که از نظر تئوری بیشترین اتصال پایدار را به مولکول های H2 نشان می دادند، انتخاب شدند. همان طور که در شکل (۳B) نشان داده شده است، تنها P<sub>224-32</sub> و نه P<sub>222-31</sub>, قابلیت تحریک شدید بیان  $\gamma$   $IFN$  را در داخل سلول های  $CD8+$  T ایمن دارد. بنابراین پیتید ۹ اسید آمینه ای P<sub>224-32</sub> یک اپی توب مخصوص لنفوسیت های  $CD8+$  T در مولکول MPB51 برای موش های BALB/c محسوب می شود. با استفاده از رنگ آمیزی داخل سلولی  $\gamma$   $IFN$ , لنفوسیت های  $CD8+$  T اختصاصی P<sub>224-32</sub> در بین سلول های ایمنی طحال شناسایی شدند (شکل ۴A).



شکل ۳: شناسایی اپی توب سلول T در مولکول  $MPB51$  در صد سلول های  $CD8+$  یا  $CD4+$  تولید کننده  $IFN-\gamma$  را بعد از ۴ ساعت تحریک با پیتید های مختلف با محیط کشت تنها (پیتید (-)) نشان داده است. همان طور که مشاهده می شود در پیتید P<sub>21-40</sub>, تنها پیتید P<sub>22-32</sub> به عنوان اپی توب سلول  $CD8+$  T می باشد (شکل A). پیتید ۹ اسید آمینه ای P<sub>24-32</sub> یک اپی توب سلول  $CD8+$  T در مولکول  $MPB51$  در مولکول  $CD8+$  محسوب می شود (شکل B).

شکل ۴: نمودار فلوسیتومتری سلول های  $CD8+$  T تولید کننده  $IFN-\gamma$  در پاسخ به پیتید P<sub>224-32</sub> در بین سلول های طحالی موش های ایمن شده با واکسن DNA. همان طور که مشاهده می شود پس از تحریک لنفوسیت های طحالی با پیتید P<sub>224-32</sub>, فقط در سلول های  $CD8+$  T تولید داخل سلولی  $IFN-\gamma$  افزایش یافته است (نمودار A). در حالی که در سلول های  $CD4+$  T پس از تحریک با پیتید P<sub>224-32</sub> هیچ گونه  $IFN-\gamma$  تولید نشده است (نمودار B).

شکل ۵: نمودار فلوسیتومتری سلول های  $CD8+$  T در پاسخ به P<sub>21</sub> تولید  $IFN-\gamma$  می نمایند (شکل ۳).

از آنجا که اپی توب های سلول های  $CD8+$  T که توسط مولکول های MHC کلاس یک عرضه می شوند شامل ۱۱ اسید آمینه می باشند، در این مرحله سعی شد اپی توب سلول  $CD8+$  T دقیقاً شناسایی گردد. به لحاظ این که اپی توب های غالب عمدتاً میل ترکیبی زیادی برای اتصال به مولکول های MHC دارند، با استفاده از برنامه های کامپیوتر مخصوص SYFPEITHI (Epitope prediction) نظری (www.syfpeithi.de) پیتید های ۹-۱۰ اسید آمینه ای حاصل از پیتید های P<sub>21</sub> با قابلیت عرضه توسط مولکول های H-2 برآورد گردید. بدین منظور پیتید های P<sub>22-32</sub>, P<sub>22-35</sub> و P<sub>29-37</sub> که به ترتیب شامل پنج اپی توب با قابلیت اتصال به مولکول های H2 کلاس Ia, دو اپی توب قابل اتصال به H2-Kd و پیتید P<sub>29-37</sub> با رتبه بالای اتصال به H2-Ld از انتخاب، ساخته شده و برای تحریک لنفوسیت های طحالی موش های ایمن به کار رفند. نتایج فلوسیتومتری نشان داد که در بین سه پیتید فوق تنها P<sub>22-32</sub> قابلیت زیادی در تحریک تولید  $IFN-\gamma$  توسط سلول های  $CD8+$  T دارند (شکل ۳A).

(epitope mapping) اپی توب‌ها برای تعیین نقشه اپی توبی (epitope mapping) می‌باشد (۲۵). در واقع پیتید ۲۴-۳۲ p که در این مطالعه به عنوان اپی توب سلول CD8+T شناسایی گردید، دارای رتبه بالایی (۴۰۰) برای اتصال به مولکول H2-Dd می‌باشد. با این وجود، عوامل دیگری غیر از میل ترکیبی اتصال به MHC در تعیین اپی توب‌های سلول T دخالت دارند. این عوامل عبارتنداز پردازش آنتی‌ژن (شکستن ترجیحی توسط کمپلکس پروتئازوم)، وضعیت انتقال پیتیدها توسط مولکول‌های TAP و نحوه پاسخ گنجینه سلول‌های T. برای مثال پیتید P۲۳-۳۷ از پیتید P۲۱-۴۰ که با استفاده از روش آنالیز بیومتریک توسط نرم‌افزار BIMAS رتبه بالایی (۱۲۰) برای اتصال به مولکول‌های H2-Kd دارد، در عمل قادر به تحریک تولید γ-IFN در سلول‌های طحالی موش‌های BALB/c این نبود.

آنالیز سه رنگی فلوسیتوتمتری نشان داد که پیتید ۲۴-۳۲ CD8+T قابلیت القای ساخت γ-IFN را در داخل سلول‌های CD8+T دارد. این یافته نشان می‌دهد که پیتید P۲۴-۳۲ یک اپی توب سلول CD8+T در موش‌های BALB/c محسوب می‌شود. علاوه بر این نتایج ما نشان می‌دهد که کمپلکس H2-Dd-پیتید IFN-γ توسط سلول‌های CD8+T تولید کننده γ-IFN شناسایی می‌شود و این سلول‌ها فعالیت سیتو توکسیک در برخورد با سلول عرضه کننده پیتید را نشان می‌دهند (یافته‌های منتشر شده).

در موش‌های BALB/c سطح تولید γ-IFN اختصاصی پیتید توسط سلول‌های CD8+T موش‌های این شده با BCG کمتر از حد قابل شناسایی می‌باشد. این یافته با گزارشات سایر محققین هم راستا می‌باشد که نشان دادن در موش‌های BALB/c واکسینه شده با BCG یا آلدود به TB، مقدار تولید γ-IFN-۲۱ و ۲۶ اپی توب Ag85A نسبت به موش‌های این شده با DNA باشد (۲۶ و ۲۱). از آنجا که واکسن DNA کد کننده MPB51 قابلیت برانگیختن این می‌باشد. همان طور که قبلاً گزارش شده است واکسیناسیون DNA در مقابل عفونت با مایکوباکتریوم توبرکلوزیس را در موش‌های BALB/c داشته (۲۲) و واکسن DNA سلول‌های CD8+ T را القا می‌نماید که پیتید P۲۴-۳۲ از شیار MOLKOL‌های H2-Dd شناسایی می‌نمایند، سلول‌های CD8+T القا شده در اثر واکسن DNA در موش‌های BALB/c، حتی قادر خواهد بود عرضه اندک اپی توب سلول T را روی سلول‌های آلدود به مایکوباکتریوم توبرکلوزیس شناسایی نمایند.

## بحث

آگاهی و فهم عمیق از ماهیت پاسخ‌های اینمی حفاظت کننده در بیماری سل کمک شایانی به ابداع واکسن‌های موثرتری در آینده خواهد نمود. بازوی سلولی اینمی ناشی از سلول‌های Th1 جزء اصلی اینمی حفاظت دهنده در بیماری سل (۳) محسوب می‌شود. با این وجود مطالعات انسانی و موشی نشان می‌دهند که سلول‌های CD8+T نیز نقش به سزاپی در برقراری اینمی در این بیماری دارند (۳۰ و ۳۱). گرچه مکانیسم دقیق اینمی ناشی از سلول‌های CD8+T محدود به MHC کلاس یک به خوبی مشخص نشده است، ولی احتمالاً سلول‌های CD8+T با ترشح γ-IFN در ایجاد حفاظت سهیمند (۱۷).

مطالعات نشان می‌دهند کمپلکس Ag85 شامل آنتی‌ژن‌های غالب در پاسخ‌های سلول‌های CD4+T و CD8+T در انسان و موش‌های آلدود به مایکوباکتریوم توبرکلوزیس می‌باشند (۱۸). واکسیناسیون با DNA پلاسمیدی کد کننده Ag85A یا CD8+ T CD4+ Ag85B موجب برانگیختن سلول‌های در موش گردیده (۱۸) که این سلول‌ها حفاظت خوبی نیز در برخورد با مایکوباکتریوم توبرکلوزیس بیماری زا ایجاد نموده‌اند (۲۰ و ۱۹). آنتی‌ژن Ag85A شامل چندین اپی توب سلول T CD4+ و حداقل یک اپی توب CD8+ در موش‌های BALB/c می‌باشد (۲۱). در انسان نیز نقشه اپی توب سلول T در مولکول Ag85A شناسایی گردیده است (۲۲ و ۱۲). به عنوان مثال، اپی توب‌های سلول CD8+T محدود به مولکول HLA-A\*0201 از Ag85B شناسایی شده است (۲۳). MPB51 یکی دیگر از پروتئین‌های ترشحی مایکوباکتریوم توبرکلوزیس می‌باشد که ۴۳-۳۷ درصد تشابه با جزء مایکولیل ترانسفراز کمپلکس Ag85 دارد (۱۴ و ۲۴). در این مطالعه با استفاده از روش واکسیناسیون با DNA تفکیک ژنی و آنالیز بیومتریک با کتابخانه‌ای از پیتیدهای Hم‌پوشان، اپی توب ۹ اسید‌آمینه‌ای P۲۴-۳۲ سلول T محدود به مولکول‌های H-2 در موش‌های BALB/c شناسایی گردید. همان‌طور که قبلاً گزارش شده است واکسیناسیون T ابزار موثری برای شناسایی اپی توب‌های سلول DNA محسوب می‌شود (۲۱). تولید γ-IFN در سلول‌های طحالی موش‌های این شده با DNA پلاسمیدی نسبت به سلول‌های موش‌های این شده با BCG افزایش داشت. علاوه بر آن الگاریتم کامپیوترا ابزار مفیدی در شناسایی حداقل

گردید واکسیناسیون ژنتیکی (DNA vaccination) روش بالارزشی برای ایجاد پاسخ‌های حفاظت دهنده در مقابل عفونت توبرکلوزیس بوده و ابزار مفیدی در جهت مطالعه و شناسایی اپی توب‌های اختصاصی دستجات مختلف سلول‌های T در گونه‌های مختلف حیوانی می‌باشد.

## References

- 1) Sterne JA, Rodrigues LC, Guedes IN. Does the efficacy of BCG decline with time since vaccination? *Int J Tuberc Lung Dis.* 1998; 2(3):200-7.
- 2) Pablos-Mendez A, Ravaglione MC, Laszlo A, Binkin N, Rieder HL, Bustreo F, et al. Global surveillance for antituberculosis-drug resistance, 1994-1997. World Health Organization-International Union against Tuberculosis and Lung Disease Working Group on Anti-Tuberculosis Drug Resistance Surveillance. *N Engl J Med.* 1998 Jun 4;338(23):1641-9.
- 3) Kaufmann SH. CD8+ T lymphocytes in intracellular microbial infections. *Immunol Today.* 1988; 9(6):168-74.
- 4) Stenger S, Modlin RL. T cell mediated immunity to *Mycobacterium tuberculosis*. *Curr Opin Microbiol.* 1999; 2(1):89-93.
- 5) Porcelli SA, Modlin RL. The CD1 system: antigen-presenting molecules for T cell recognition of lipids and glycolipids. *Annu Rev Immunol.* 1999; 17:297-329.
- 6) Orme IM. Induction of nonspecific acquired resistance and delayed-type hypersensitivity, but not specific acquired resistance in mice inoculated with killed mycobacterial vaccines. *Infect Immun.* 1988; 56(12):3310-2.
- 7) Andersen P. Effective vaccination of mice against *Mycobacterium tuberculosis* infection with a soluble mixture of secreted mycobacterial proteins. *Infect Immun.* 1994; 62(6):2536-44.
- 8) Belisle JT, Vissa VD, Sievert T, Takayama K, Brennan PJ, Besra GS. Role of the major antigen of *Mycobacterium tuberculosis* in cell wall biogenesis. *Science.* 1997; 276(5317):1420-2.
- 9) Wiker HG, Harboe M. The antigen 85 complex: a major secretion product of *Mycobacterium tuberculosis*. *Microbiol Rev.* 1992; 56(4):648-61.
- 10) Graff-Dubois S, Faure O, Gross DA, Alves P, Scardino A, Chouaib S, et al. Generation of CTL recognizing an HLA-A\*0201-restricted epitope shared by MAGE-A1, -A2, -A3, -A4, -A6, -A10, and -A12 tumor antigens: implication in a broad-spectrum tumor immunotherapy. *J Immunol.* 2002; 169(1):575-80.
- 11) Launois P, DeLeys R, Niang MN, Drowart A, Andrien M, Dierckx P, et al. T-cell-epitope mapping of the major secreted mycobacterial antigen Ag85A in tuberculosis and leprosy. *Infect Immun.* 1994; 62(9):3679-87.
- 12) Munk ME, De Bruyn J, Gras H, Kaufmann SH. The
- 13) Silver RF, Wallis RS, Ellner JJ. Mapping of T cell epitopes of the 30-kDa alpha antigen of *Mycobacterium bovis* strain bacillus Calmette-Guerin in purified protein derivative (PPD)-positive individuals. *J Immunol.* 1995; 154(9):4665-74.
- 14) Ohara N, Ohara-Wada N, Kitaura H, Nishiyama T, Matsumoto S, Yamada T. Analysis of the genes encoding the antigen 85 complex and MPT51 from *Mycobacterium avium*. *Infect Immun.* 1997; 65(9):3680-5.
- 15) Kaufmann SH. Is the development of a new tuberculosis vaccine possible? *Nat Med.* 2000; 6(9):955-60.
- 16) D'Souza S, Rosseels V, Romano M, Tanghe A, Denis O, Jurion F, et al. Mapping of murine Th1 helper T-Cell epitopes of mycolyl transferases Ag85A, Ag85B, and Ag85C from *Mycobacterium tuberculosis*. *Infect Immun.* 2003; 71(1):483-93.
- 17) Tascon RE, Stavropoulos E, Lukacs KV, Colston MJ. Protection against *Mycobacterium tuberculosis* infection by CD8+ T cells requires the production of gamma interferon. *Infect Immun.* 1998; 66(2):830-4.
- 18) Lozes E, Huygen K, Content J, Denis O, Montgomery DL, Yawman AM, et al. Immunogenicity and efficacy of a tuberculosis DNA vaccine encoding the components of the secreted antigen 85 complex. *Vaccine.* 1997; 15(8):830-3.
- 19) Baldwin SL, D'Souza CD, Orme IM, Liu MA, Huygen K, Denis O, et al. Immunogenicity and protective efficacy of DNA vaccines encoding secreted and non-secreted forms of *Mycobacterium tuberculosis* Ag85A. *Tuber Lung Dis.* 1999; 79(4):251-9.
- 20) Huygen K, Content J, Denis O, Montgomery DL, Yawman AM, Deck RR, et al. Immunogenicity and protective efficacy of a tuberculosis DNA vaccine. *Nat Med.* 1996; 2(8):893-8.
- 21) Denis O, Tanghe A, Palfliet K, Jurion F, van den Berg TP, Vanonckelen A, et al. Vaccination with plasmid DNA encoding mycobacterial antigen 85A stimulates a CD4+ and CD8+ T-cell epitopic repertoire broader than that stimulated by *Mycobacterium tuberculosis* H37Rv infection. *Infect Immun.* 1998; 66(4):1527-33.
- 22) D'Souza S, Rosseels V, Romano M, Tanghe A, Denis O, Jurion F, et al. Mapping of murine Th1 helper T-Cell epitopes of mycolyl transferases Ag85A, Ag85B, and

## نتیجه‌گیری

در این مطالعه یک اپی توب سلول CD8+T CTL محدود به ۲ H-2 در موش‌های c BALB شناسایی گردید که تصور می‌شود، نقش به سرایی در حفاظت مقابل عفونت مایکوباتریوم توبرکلوزیس داشته باشد. همچنین مشخص

*Mycobacterium bovis* 32-kilodalton protein antigen induces human cytotoxic T-cell responses. *Infect Immun.* 1994; 62(2):726-8.

- 13) Silver RF, Wallis RS, Ellner JJ. Mapping of T cell epitopes of the 30-kDa alpha antigen of *Mycobacterium bovis* strain bacillus Calmette-Guerin in purified protein derivative (PPD)-positive individuals. *J Immunol.* 1995; 154(9):4665-74.
- 14) Ohara N, Ohara-Wada N, Kitaura H, Nishiyama T, Matsumoto S, Yamada T. Analysis of the genes encoding the antigen 85 complex and MPT51 from *Mycobacterium avium*. *Infect Immun.* 1997; 65(9):3680-5.
- 15) Kaufmann SH. Is the development of a new tuberculosis vaccine possible? *Nat Med.* 2000; 6(9):955-60.
- 16) D'Souza S, Rosseels V, Romano M, Tanghe A, Denis O, Jurion F, et al. Mapping of murine Th1 helper T-Cell epitopes of mycolyl transferases Ag85A, Ag85B, and Ag85C from *Mycobacterium tuberculosis*. *Infect Immun.* 2003; 71(1):483-93.
- 17) Tascon RE, Stavropoulos E, Lukacs KV, Colston MJ. Protection against *Mycobacterium tuberculosis* infection by CD8+ T cells requires the production of gamma interferon. *Infect Immun.* 1998; 66(2):830-4.
- 18) Lozes E, Huygen K, Content J, Denis O, Montgomery DL, Yawman AM, et al. Immunogenicity and efficacy of a tuberculosis DNA vaccine encoding the components of the secreted antigen 85 complex. *Vaccine.* 1997; 15(8):830-3.
- 19) Baldwin SL, D'Souza CD, Orme IM, Liu MA, Huygen K, Denis O, et al. Immunogenicity and protective efficacy of DNA vaccines encoding secreted and non-secreted forms of *Mycobacterium tuberculosis* Ag85A. *Tuber Lung Dis.* 1999; 79(4):251-9.
- 20) Huygen K, Content J, Denis O, Montgomery DL, Yawman AM, Deck RR, et al. Immunogenicity and protective efficacy of a tuberculosis DNA vaccine. *Nat Med.* 1996; 2(8):893-8.
- 21) Denis O, Tanghe A, Palfliet K, Jurion F, van den Berg TP, Vanonckelen A, et al. Vaccination with plasmid DNA encoding mycobacterial antigen 85A stimulates a CD4+ and CD8+ T-cell epitopic repertoire broader than that stimulated by *Mycobacterium tuberculosis* H37Rv infection. *Infect Immun.* 1998; 66(4):1527-33.
- 22) D'Souza S, Rosseels V, Romano M, Tanghe A, Denis O, Jurion F, et al. Mapping of murine Th1 helper T-Cell epitopes of mycolyl transferases Ag85A, Ag85B, and

Ag85C from *Mycobacterium tuberculosis*. *Infect Immun.* 2003; 71(1):483-93.

23) Geluk A, van Meijgaarden KE, Franken KL, Drijfhout JW, D'Souza S, Necker A, et al. Identification of major epitopes of *Mycobacterium tuberculosis* AG85B that are recognized by HLA-A\*0201-restricted CD8+ T cells in HLA-transgenic mice and humans. *J Immunol.* 2000; 165(11):6463-71.

24) Al-Attiyah R, Shaban FA, Wiker HG, Oftung F, Mustafa AS. Synthetic peptides identify promiscuous human Th1 cell epitopes of the secreted mycobacterial

antigen MPB70. *Infect Immun.* 2003; 71(4):1953-60.

25) Shams H, Klucar P, Weis SE, Lalvani A, Moonan PK, Safi H, et al. Characterization of a *Mycobacterium tuberculosis* peptide that is recognized by human CD4+ and CD8+ T cells in the context of multiple HLA alleles. *J Immunol.* 2004; 173(3):1966-77.

26) Romano M, Denis O, D'Souza S, Wang XM, Ottenhoff TH, Brulet JM, Huygen K. Induction of in vivo functional Db-restricted cytolytic T cell activity against a putative phosphate transport receptor of *Mycobacterium tuberculosis*. *J Immunol.* 2004; 172(11):6913-21.